

Пермский государственный технический университет

Технические характеристики подшипников качения во многом определяются механикой контакта тел качения с беговыми дорожками колец, в частности, напряжениями в контакте, которые зависят от многих факторов: конструкции подшипников, формы и точности сопрягаемых тел, жесткости корпуса, вала, скорости вращения и посторонних включений в смазке.

1. Распределение нагрузки по телам качения

Все эти вопросы в различной мере нашли отражение в работах Р. Штрибека, Б.В. Цыпкина, И.В. Слушкина, Н.В. Родзевича, Т. Харриса, А.В. Орлова, Б.А. Иванова, О.М. Беломытцева, Б.П. Свешникова, Б.Д. Мажова, Е.Н. Филатовой и др.

Автором в работе [1] была предложена методика расчета распределения нагрузки по телам качения (в плоской постановке) для модели (рис. 1, а), характерной для межвальтовой опоры газотурбинного двигателя.

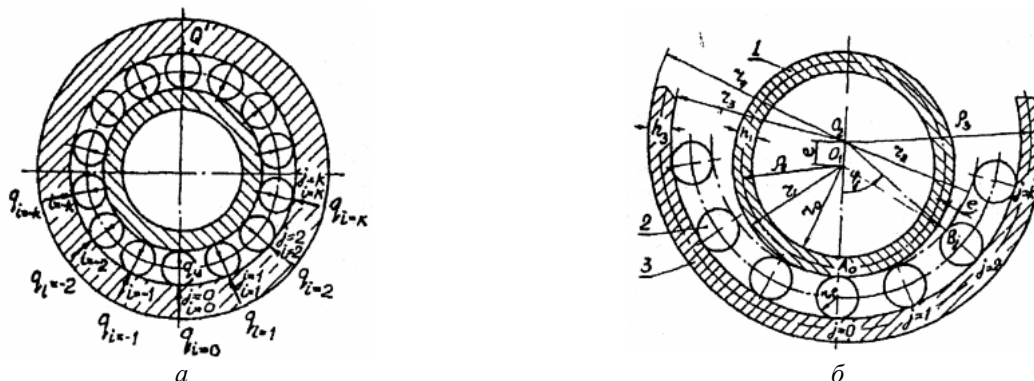


Рис. 1. Расчетная модель: а – схема действующих нагрузок; б – основные геометрические параметры

В расчетной модели кольца подшипников рассматриваются за одно целое с валом.

Задача решается путем составления системы уравнений перемещений на угловых координатах φ_j и уравнения равновесия:

$$W_j = \omega_0 \cos \varphi_j,$$

$$W_j = e_j + \delta_{vj} + \delta_{nj} + \sum_{\substack{i=-k \\ i \neq j}}^k \delta_{vji} + \sum_{\substack{i=-k \\ i \neq j}}^k \delta_{nji}; \quad (1)$$

$$q_0 + \sum_{i,j=1}^k q_i \cos \varphi_j = Q'$$

где ω_0 – перемещение на координатах φ_j , $j=0, 1, 2, \dots, k$ – индексы роликов в направлении φ_j , Q' – погонная нагрузка на подшипник; e_j – радиальный зазор на координате φ_j , определяемый из $\Delta O_1 O_2 B_j$ (см. рис. 1, б):

$$e_j = (e - \Delta r) (1 - \cos \varphi_j), \quad (2)$$

где Δr – изменение радиуса тела в результате воздействия центробежных сил; e – монтажный радиальный зазор в подшипнике, равный половине диаметра; δ_{vj} , δ_{nj} , δ_{vji} , δ_{nji} – упругие сближения центров тела и ролика j под действием сил q_i , действующих на ролики, определяемое с учетом контактных деформаций (по Б.С. Ковальскому), изгибных перемещений, упругого воздействия соседних тел качения (по И.Я. Штаерману), при этом суммарное перемещение определялись по принципу суперпозиции.

Функция зазора (2) может включать в себя разноразмерность тел качения, отклонения геометрической формы беговых дорожек, размеры частиц посторонних включений, в этом случае она будет иметь вид:

$$e_j = (e - u_{\text{н}})(1 - \cos \varphi_j) + \Delta e_j, \quad (3)$$

где Δe_j – параметр, учитывающий отклонение величины радиального зазора на координате φ_j вследствие разноразмерности тел качения, погрешности формы беговых дорожек колец (овальности, округлости и др.), а также твердых включений в смазку, попадающих в контакт при работе подшипника.

Система уравнений (1) может трансформироваться в другие модели: полый вал – массивный корпус, сплошной вал – массивный корпус, сплошной вал – трубчатый корпус, сплошной (полый) вал – корпус слож-

ной конструкции с неравномерным сечением по периметру. В каждом случае уравнения перемещений на координатах φ_j определяются через податливость корпуса совместно с кольцом подшипника.

На рис. 2 даны примеры решения распределения нагрузки для подшипниковых узлов различной жесткости с различными радиальными зазорами в подшипниках, где ρ – радиус кривизны среднего сечения цилиндра; h_1 – толщина стенки цилиндра; β_1 – отношение ρ/h_1 ; β_3 – аналогично для наружного цилиндра.

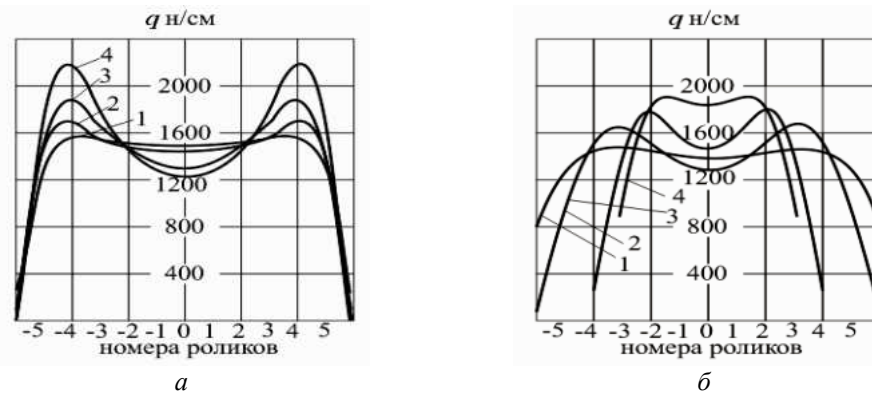


Рис. 2. Распределение нагрузки по телам качения в цилиндрическом роликоподшипнике: а – вал полый ($\beta_1 = 6$) – корпус массивный; б – вал полый ($\beta_1 = 2$) – корпус кольцевой ($\beta_3 = 2$); радиальный зазор: 1-0; 2-0,04; 3 – 0,12; 4 – 0,2

2. Распределение нагрузки по длине ролика

Предложенное выше решение относится к случаю плоского напряженного состояния, когда распределение нагрузки по длине ролика постоянно. Для учета распределения нагрузки по длине ролика разработана численная методика расчета [2], основанная на представлении ролика как балки, находящейся между двумя упругими основаниями (рис. 3), которыми являются наружные и внутренние кольца подшипников. Решение сводится к расчету статически неопределимой системы методом перемещений. Балка (линия контакта) разбивается на участки, в пределах каждого участка нагрузка считается равномерно распределенной; на каждом участке методом суперпозиции определяются контактные и изгибные перемещения (в случае изгиба ролика), на которые накладываются начальные зазоры в возможных точках контакта ролика с кольцами.

Уравнения перемещений для расчетной схемы составляются как для обычной статически неопределимой системы и совместно с уравнениями равновесия имеют вид:

$$\left. \begin{aligned} \sum_{k=1}^n \Delta_{mk}^B + \Delta_m^B - q_m &= 0; & \sum_{k=1}^n \Delta_{mk}^H + \Delta_m^H - q_m^H &= 0; \\ c \sum_{k=1}^n p_k &= c \sum_{k=1}^n q_k = R; & \sum_{k=1}^n p_k \cdot a_k - \sum_{k=1}^n q_k \cdot a_k &= 0; \\ y_1^B + y_1^H - y_2^B - y_2^H &= 0, \end{aligned} \right\}$$

$k=1, 2, \dots, n; m=1, 2, \dots, n.$

Значения Δ_{mk}^B и Δ_{mk}^H выражают контактные и изгибные перемещения тел на m -ом участке от действия силы на k -ом участке, Δ_m^B и Δ_m^H являются функциями осадков торцов ролика, $y_1^B, y_1^H, y_2^B, y_2^H, q_m^B$ и q_m^H – начальные зазоры в возможных точках контакта ролика с наружным и внутренним кольцами.

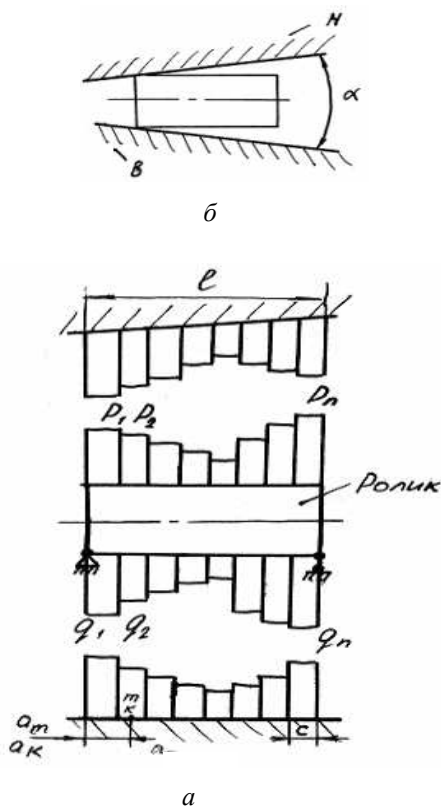


Рис. 3. Расчетная модель: а – схема сил; б – возможное статическое положение ролика; н – наружное кольцо подшипника, в – внутреннее кольцо подшипника

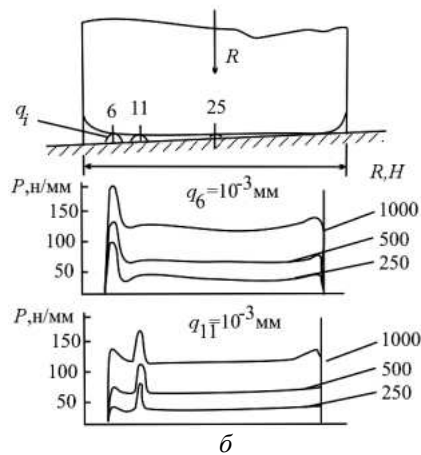
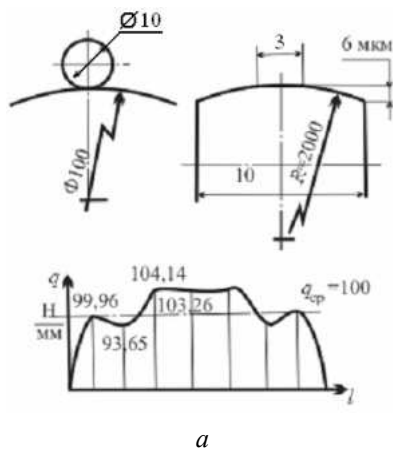


Рис. 4. Распределение нагрузки по длине роликов: а – в случае бомбинированного ролика; б – при наличии посторонней частицы в контакте

3.1. Напряженное состояние частицы

Если взять тело произвольной формы, находящееся между двумя сжимаемыми цилиндрами, то оно будет испытывать объемное напряженное состояние, и на начальном этапе нагружения в нем возникают только упругие деформации. Появление пластиче-

Контактные перемещения Δ_{mk} могут определяться по различным формулам, в частности, автор первоначально использовал формулу Пальмгрена:

$$\Delta_{mk}^B = a \cdot p_k^{0.9} \cdot c^{0.1} \quad \text{и} \quad \Delta_{mk}^H = a \cdot q/k^{0.9} \cdot c^{0.1},$$

где a – коэффициент, зависящий от размерностей величин p , q и c .

Затем результат сравнивался с более точным решением, основанным на формуле Буссинеска для упругого полупространства, при этом распределение нагрузки по ширине площадки, равно как и ширина площади контакта определялись по Герцу.

На рис. 4 представлены примеры расчетов распределения нагрузки по длине роликов в бомбинированном ролике, имеющем цилиндрический участок и в случае небомбинированного ролика, когда в контакте оказалась частица размером в 1 мкм.

3. Механика контакта частицы

Особый интерес представляет случай с частицей, которая может попасть в контакт с маслом (см. рис. 4, б).

ских деформаций определяется только уровнем напряжений.

Критерий пластичности может быть принят в форме критерия Сен-Венана–Леви [3], который при $\sigma_1 \geq \sigma_2 \geq \sigma_3$ имеет вид:

$$2|\tau_{\max}| = |\sigma_1 - \sigma_3| = \sigma_T. \quad (4)$$

В нашем случае считаем направление для σ_1 по линии вектора нагрузки (по оси z), для σ_2 – вдоль линии контакта; для σ_3 – в направлении движения частицы. Напряжения σ_2 и σ_3 зависят от трения на контактной поверхности.

Частица в масле может иметь форму полоски, шара или какую-либо неопределенную форму. Для упрощения примем частицу в виде полоски, прокатываемой между валками (рис. 5) и механику контакта частицы рассмотрим на основе теории продольной прокатки [4].

В этом случае уравнение пластичности рассматривают в виде

$$\sigma_1 = \beta \sigma_T + \sigma_3, \quad (5)$$

где β – коэффициент, изменяющийся в пределах $1 \dots 1,155$ и зависящий от напряжения σ_2 , которое зависит от ширины полоски и трения вдоль оси u .

Если в первом приближении пренебречь напряжением σ_3 , считая $\sigma_3 \ll \sigma_1$, то условие пластичности для полоски примет вид:

$$\sigma_1 = \beta \sigma_T. \quad (6)$$

3.2. Влияние на предел текучести скорости деформирования

Зависимость предела текучести от скорости деформирования исследовалась различными авторами, в частности, в работе [6] отмечается, что при скорости относительной деформации $\approx 10^{-3} \text{ с}^{-1}$, которая типична для малоскоростных испытательных прессов, имеет место статический предел текучести σ_{Tc} , а при ударных нагрузках, характерных при деформировании заготовки на молоте со скоростью 10^3 с^{-1} – динамический предел текучести σ_{Td} ; влияние скорости деформации при температуре ниже температуры рекристаллизации выражается неравенством $1 < \sigma_{Td} / \sigma_{Tc} < 2$, если выше, то это отношение для металлов может достигать 10 и более.

Средняя скорость относительной линейной деформации определяется из выражения:

$$\delta = \frac{dh/h_0}{dt} = -\frac{1}{h_0} \frac{dh}{dt} = -\frac{V_0}{h_0}, \text{ с}^{-1},$$

где h_0 – толщина частицы (полосы) до входа в контакт; h – текущая толщина; dt – время; V_0 – начальная скорость полоски.

Принимая в качестве примера размеры частиц $h_0 = 1 \dots 5 \text{ мкм}$, диаметр вала (кольца подшипника) $r = 50 \text{ мм}$, $\omega = 1000 \text{ с}^{-1}$, находим, что скорость относительной линейной деформации будет равна $(50-100) \cdot 10^6 \text{ с}^{-1}$, то есть является достаточно высокой.

Остается неясным вопрос относительно температуры в контакте частицы, но первоначально считаем, что она ниже предела рекристаллизации и принимаем $\sigma_{Td} / \sigma_{Tc} = 2$.

3.3. Условие захвата частицы

На полоску (частицу) в контакте действуют силы (рис. 5): нормальные P_1 и P_2 со стороны катков, силы трения T_1 и T_2 , сила инерции U . Условие захвата частицы выражается уравнением:

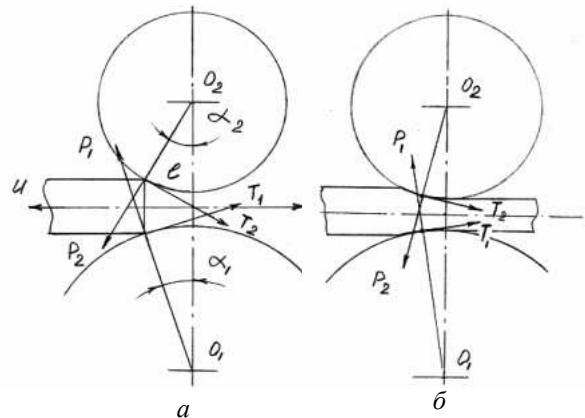


Рис. 5. Схема сил, действующих на прокатываемую полоску (частицу):

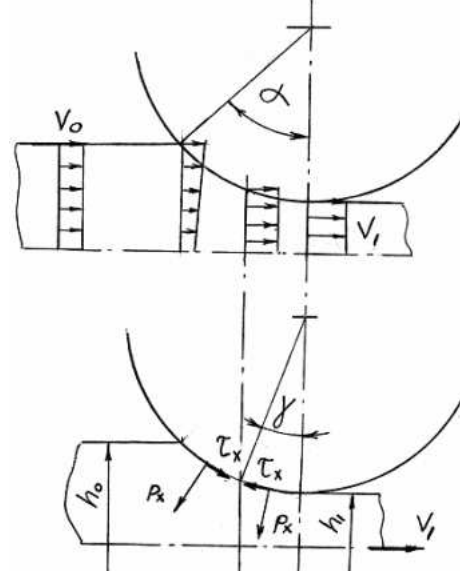


Рис. 6. Распределение скоростей и зоны трения в контакте

$T_1 \cos \alpha_1 + T_2 \cos \alpha_2 - P_1 \sin \alpha_1 - P_2 \sin \alpha_2 - U \geq 0$, (7)
 где α_1, α_2 – углы контакта (захвата), U – сила инерции.

Для простоты изложения считаем катки одинаковыми, силами инерции пренебрегаем и выражая $T=Pf$, где f – коэффициент трения, находим из (7)

$$f \geq \operatorname{tg} \alpha.$$

Углы контакта определяются из рис. 4:

$$\cos \alpha_1 \approx \frac{R_1 - h_0/2}{R_1}, \quad \cos \alpha_2 \approx \frac{R_2 - h_0/2}{R_2}.$$

Для рассматриваемого примера: $h_0=5 \cdot 10^{-3}$ мм, $R_1=50$ мм, $R_2=10$ мм. $\alpha_1=0,573^\circ$, $\alpha_2=1,281^\circ$, $\operatorname{tg} \alpha_1=0,010$, $\operatorname{tg} \alpha_2=0,022$.

В момент захвата коэффициент трения по видимому будет больше 0,05, так как режим трения будет не жидкостным и частица должна поступить в зону контакта с валками.

Так как углы контакта очень малы, то нагрузку на полосу $P_1 = P \cdot \cos \alpha_1$ и $P_2 = P \cdot \cos \alpha_2$ принимаем $P_1=P_2=P$.

3.4. Давление в контакте

Очевидно, что давление в контакте изменяется в пределах дуги контакта, наибольшим оно будет в момент захвата, так как в этот момент площадка контакта очень мала и на выходе полосы из контакта.

Среднее давление в контакте:

$$P_{\text{ср}} = \frac{P}{b \cdot l}, \quad (8)$$

где b – ширина полосы в контакте; l – длина дуги захвата (контакта), которая может быть определена по приближенной формуле

$$l \approx \sqrt{R \Delta h}$$

где $\Delta h = h_0 - h_1$ – абсолютное сжатие.

В рассматриваемом примере при $\Delta h=4 \cdot 10^{-3}$ мм, $R_1=5$ мм, $l=0,14$ мм.

Из (8) находим среднее давление $p_c=1420$ МПа, которое будет значительно больше предела текучести.

Из этого следует, что в начальный момент контакта напряжения будут очень большими, затем быстро упадут до динамического предела текучести $\sigma_{\text{гд}}$ и останутся постоянными в течение всего времени деформации.

В рассматриваемом примере ($V=50$ м/с, $\omega=1000$ с⁻¹, $R_2=50$ мм, $l=0,14$ мм) время деформации составит

$$T = \frac{\Delta l}{V} = \frac{0,14 \cdot 10^{-6}}{50} = 0,28 \cdot 10^{-8} \text{ с.}$$

3.5. Течение металла в зоне деформации

В пределах дуги захвата возникают зоны отставания, прилипания и опережения (рис. 6) [4]. В зоне прилипания отсутствует взаимное проскальзывание сопрягаемых тел и цилиндров.

До зоны нейтрального сечения (НС) будет отставание металла (см. рис. 6, б) и силы трения τ_x способствуют движению частицы, а за НС силы трения препятствуют этому движению.

Опережение характеризуют коэффициенты скольжения

$$S = \frac{V_1 - V_B}{V_B},$$

где V_1 – скорость металла на выходе из валков; V_B – окружная скорость валков.

Скорость частицы (полосы) на выходе определяется из условия постоянства секундного объема частицы до и после прокатки (считая материал несжимаемым). Для рассматриваемого случая при $h_0=5$ мкм, $h_1=1$ мкм коэффициент скольжения получается равным 4%. Т.е. наличие частиц в контакте приводит к взаимному скольжению ролика и материала частицы.

Очевидно, что частицы металла или абразива могут раскататься и до размеров гораздо меньших, чем 1 мкм, могут получиться очень тонкие пластины, которые будут внедряться в микронеровности поверхностей и при последующем контакте отслаиваться, шелушиться.

Кроме этого, по критерию пластичности Сен-Венана–Леви максимальные касательные напряжения в пластическом состоянии имеют постоянное значение, определяемое по формуле (4), т.е. касательные напряжения могут быть очень большими и под их воздействием происходит разрушение поверхностных слоев материала.

Упрощенный анализ, сделанный в настоящем сообщении, а также практика эксплуатации показывают, что вопрос загрязнения смазки и ее очистки является актуальной

задачей на пути повышения долговечности подшипников.

Список литературы

1. Иванов Б.А., Беломытцев О.М. Влияние жесткости сопряженных элементов на распределение нагрузки между телами качения в быстроходных радиальных роликоподшипниках. В сб. «Повышение прочности и эксплуатационной надежности деталей». – Пермь: ППИ, 1968, с. 162-168.

2. Беломытцев О.М. Численная методика расчета распределения давлений по длине площадки контакта цилиндров различных форм. В сб. «Динамика и прочность механи-

ческих систем. Межвузовский сборник» – Пермь: ППИ, 1981, с. 121-125.

3. Александров А.В, Потапов В.Д. Основы теории упругости и пластичности: Учеб. для строит. спец. вузов. М.: Высш. шк., 1990. 400 с.

4. Шевакин Ю.Ф., Чернышев В.Н., Шаталов Р.Л., Мочалов И.А. Обработка металлов давлением / Под науч. ред. Ю.Ф.Шевакина. М.: Интермет Инжиниринг, 2005. 496 с.

5. Джонсон У., Меллор П.Б. Теория пластичности для инженеров. Пер. с англ. / Пер. А.Г.Овчинников. М.: Машиностроение, 1979. 567 с.

ABOUT THE MECHANICS OF THE CONTACT IN A CYLINDRICAL ROLLER BEARING

© 2006 O.M. Belomyttsev

The following matters will be covered: load distribution between solids of revolution in a cylindrical roller bearing and contact taking into consideration: the actual geometric forms of the contacting solids; rigidity of the shaft and the body; admixture in the kubicant and reciprocal skewing of the races.